

トンネル外周地盤の応力と変形について

京都大学防災研究所 正員 村山朔郎  
 京都大学大学院 学生員 松岡 元  
 京都大学大学院 学生員 小川雅裕

前回の報告<sup>\*</sup>に引き続き、トンネル問題についての基礎的研究として、金属棒積層体を地山材料に用いて落し戸模型実験を行ない、地山材料の力学特性を調べることから始めて、落し戸にかかる上圧と地山の変形の問題および地山の沈下現象について現象論的に考察した。

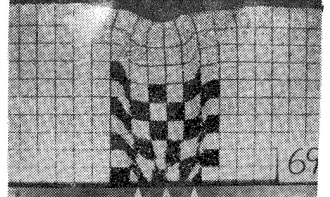


写真-1 地山の变形状態 ( $\delta=70\text{mm}$ )

1. 落し戸外周地盤の応力分布について 写真-1はアルミ棒混合積層体(径1.6と3mm, 混合重量比 6:4, 長さ 50mm)を、落し戸幅:  $B=9\text{cm}$ , 土盛り高さ:  $h_i=30.7\text{cm}$

の実験条件で、落し戸を  $\delta=70\text{mm}$  降下させたときのマス目の変形状態を示しているが、マス目は体積変化もおおしげせん断変形していることが観察される。図-1は、写真-2の単純せん断試験機によって得られたアルミ棒混合積層体の試験結果の一例であるが、応力比  $\gamma/\sigma$  は体積変化をおおまかくておぼろげな等体積せん断の応力比  $[\gamma/\sigma]_{cv}$  (図-1中の点線)と表面エネルギー補正によって考慮した体積変化にもとづく応力比  $[\gamma/\sigma]_d = \frac{\Delta E}{\Delta V}$  の和と考えることにより実験値をほぼ説明できる。  $\gamma/\sigma = [\gamma/\sigma]_{cv} + [\gamma/\sigma]_d = [\gamma/\sigma]_{cv} + \frac{\Delta E}{\Delta V}$

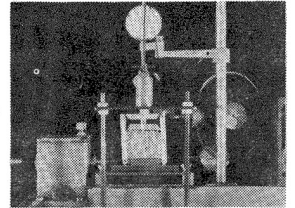


写真-2 単純せん断試験機

この考えを落し戸模型実験にも通用できるとし、マス目が一様な変形を有するものとして、地山材料の抵抗力  $\gamma/\sigma$  を評価すれば 前回の報告<sup>\*</sup>と同様に逐次計算法で応力分布を求めることができる。図-2は、写真-1のときの落し戸両端の鉛直面上の  $T_{xz}$  の分布と底部の  $\sigma_z$  の分布をあわせて示している。落し戸上の地山の自重から  $T_{xz}$  の分布であらわされるせん断抵抗力を引けば落し戸にかかる荷重となる。この土圧の計算値は445gであり、これに対して測定値は約500gであった。落し戸周辺部で  $\sigma_z$  が大きくばっているのは、この部分で力を受けおぼろげな落し戸にかかる荷重が小さくなることを示している。

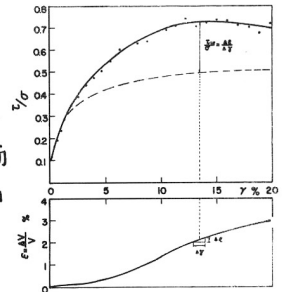


図-1 アルミ棒混合積層体の  $\gamma/\sigma \sim \delta \sim \epsilon = \frac{\Delta V}{V}$  関係

2. 落し戸外周地盤の沈下現象について 写真-3は、落し戸の降下にともなう積層体の運動状態をみるために重ね撮りしたものであるが、降下量がある値以上になると定常的流動領域を形成する。この領域の形を模型的にあわせて、粒子の移動がほぼ平行流となるときの幅を  $b$ , その点までの高さを  $h_b$  とする。(図-4参照) 図-3は、 $b/B$  と  $h_b/B$  の関係をプロットしたものであり、鉄棒の積層体(X印)をのぞいて、種々の径のアルミ棒積層体および砂はきれいな直線関係を示した。共通点は比重と内部摩擦角がほぼ等しいことである。実験式:  $b/B = 0.34 \times (h_b/B) + 0.6$  ( $b \geq B$ )

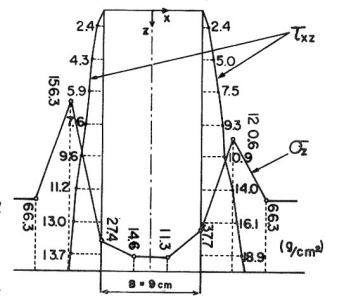


図-2  $T_{xz}$  および  $\sigma_z$  の分布 ( $\delta=70\text{mm}$ )

.....(1). また、実験データから  $h_b \approx b$  とする。さて、落し戸が  $\Delta \delta$ だけ降下して生じた単位奥行きあたり  $B \cdot \Delta \delta$  の空けさによるゆるみだけが地表面まで達すれば、地表面沈下もおおまか、ゆるみの一部は地山の向け率の増加の形で存在する。この向け率の増加には限度があるという事実および向け率の増加は

流動領域とその周囲の静止領域の境界面である外側すべり面に沿って顕著にみられる  
 という事実から、図4に示すように現象を単純化して考えを進める。まず、地表面沈下  
 $\beta_s$  について考える。いま、落し戸を  $\delta$  降下させたことにより、外側すべり面に沿って長さ  
 $l$  の部分に明確なすべり面があらわれ、限界の向きき率増加  $\Delta n_{limit}$  になつており、  
 地表面は幅  $b$  にわたって  $\beta_s$  だけ沈下しているものとする。この状態で落し戸をささらに  
 $\Delta\delta$  だけ降下させたことにより、すべり面が  $\Delta l$  だけ上昇し地表面は  $\Delta\beta_s$  だけ沈下して  
 なる。一般に、 $B \cdot \Delta\delta = b \cdot \Delta\beta_s + 2 \times (\Delta l \times \delta \times \Delta n_{limit})$  ( $\delta$ : すべり領域の幅) ----- (2).

(2)式より、 $\Delta\beta_s = \alpha \cdot \Delta\delta - \beta \cdot \Delta l$  ----- (3) 二に  $\alpha = \frac{\beta_s}{\delta}$ ,  $\beta = \frac{2\delta \Delta n_{limit}}{b}$ .

次に、地表面にダイヤルゲージを置いて落し戸中心線における地表面  
 沈下量を測定したが、その結果を  $\delta$  と  $\frac{\Delta\beta_s}{\Delta\delta}$  の関係で整理した一例  
 を図5に示す。これを見て明らかのように、 $\frac{\Delta\beta_s}{\Delta\delta}$  は  $\delta$  の増加にとも  
 ないほぼ直線的に増加し、ある  $\delta$  のとき ( $\delta = \delta_c$  とする) ある一定値に  
 達してその後はおよそ一定を保つことがわかる。ささらに興味あるのは、  
 $\delta = \delta_c$  のときに左右の外側すべり面がちょうど地表面に達しており、  
 $\frac{\Delta\beta_s}{\Delta\delta}$  の一定値は 二のとき向きき率の増加はそれ以上おこさばいとして立てた連続  
 の式:  $B \cdot \Delta\delta = b \cdot \Delta\beta_s$  から求めた  $\frac{\Delta\beta_s}{\Delta\delta} = \frac{\beta_s}{\delta} = \alpha$  ----- (4) の値とほぼ等しいことである。

したがって、 $\frac{d\beta_s}{d\delta} = \frac{\alpha}{\delta_c} \delta$  ( $0 \leq \delta \leq \delta_c$ ) ----- (5),  $\frac{d\beta_s}{d\delta} = \alpha$  ( $\delta > \delta_c$ ) ----- (6). (5)式を  
 積分し、 $\delta=0$ のとき  $\beta_s=0$  なる条件を入れると、 $\beta_s = \frac{\alpha}{\delta_c} \frac{\delta^2}{2}$  ( $0 \leq \delta \leq \delta_c$ ) ----- (7). (6)式を  
 積分し  $\delta = \delta_c$  のとき (7)式と連続なる条件を入れると、 $\beta_s = \alpha \cdot \delta - \frac{\alpha \cdot \delta_c}{2}$  ( $\delta > \delta_c$ ) ----- (8).

一方、(3)式の積分形:  $\beta_s = \alpha \cdot \delta - \beta \cdot l$  ----- (9) において、 $l \approx r_i$  とした  $\beta_s = \alpha \cdot \delta - \beta \cdot r_i$   
 ----- (9') なる関係は、すべり面が地表面まで達したとき、 $\beta_s$  と  $\delta$  が満たさなければ  
 ならない関係である。(8)式と(9')式は一致しなければならず、 $\frac{\alpha \cdot \delta_c}{2} = \beta \cdot r_i$ .

$\alpha, \beta$  にもとの値を入れて、 $\delta_c = (4\delta \cdot \Delta n_{limit}) \times (\frac{r_i}{\beta_s})$  ----- (10).

図6は、種々の実験条件に対して  $\frac{r_i}{\beta_s}$  と  $\delta_c$  とをプロットしたもので  
 あるが、ほぼ直線関係を示し、勾配が  $4.8 \cdot \Delta n_{limit} \approx 11 \sim 12$  ( $\delta$ : mm)  
 と推定できる。また、実験写真の読み取りから  $\Delta n_{limit} \approx 0.1$ ,  $\delta \approx 30$  mm  
 とする。以上のことより、地表面沈下量  $\beta_s$  は計算できる。

計算例:  $B=9$  cm,  $r_i=30.1$  cm の場合、(1)式より  $\frac{b}{B} = 0.34 \times \frac{30.1}{9} + 0.6 = 1.74$   
 $\therefore b = 9 \times 1.74 = 15.7$  cm (4)式より  $\alpha = \frac{9}{15.7} = 0.57$  (10)式より  
 $\delta_c = 12 \times \frac{30.1}{9} = 40$  mm. ゆえに、例えば、落し戸降下量:  $\delta = 70$  mm のときの

地表面沈下量:  $\beta_s$  は (8)式より  $\beta_s = 0.57 \times 70 - \frac{0.57 \times 40}{2} = 28.5$  mm. 二に対して  
 ダイヤルゲージによる実測値は 28.3 mm であった。次に、読み取り望遠鏡によつて  
 地山中の一点の沈下量を測定したが、測定値は図5と同じ傾向を示し、 $\alpha$  も  $\delta_c$  も  
 全く同様の考え方で説明できるので、この解析法は地山中の各点の沈下量予測にも  
 拡張できる。

\* [村山, 松岡: トルネール土圧の発生機構について 土工学関係 講義概要 (昭和42年)  
 この報告中、アルミ積層体の等体積せん断試験結果の  $\mu_0 \approx 0.35$  は  $\mu_0 \approx 0.5$  に訂正しよ

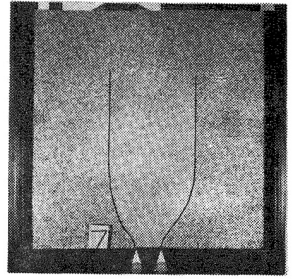


写真-3 積層体の運動状況  $\delta=50-70$  mm

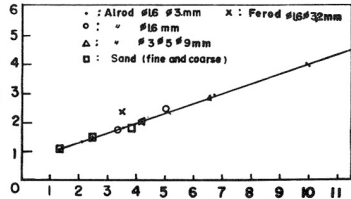


図-3  $\frac{\Delta\beta_s}{\Delta\delta} \sim \frac{r_i}{\beta_s}$  関係

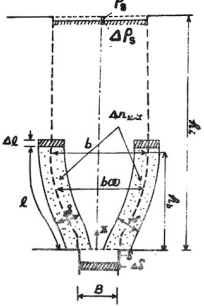


図-4 地表面の沈下と向きき率の増加

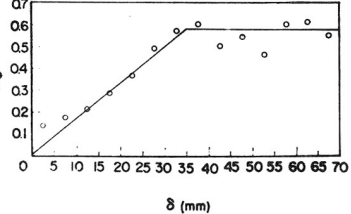


図-5  $\frac{\Delta\beta_s}{\Delta\delta} \sim \delta$  関係 ( $B=9$  cm,  $r_i=30.1$  cm)

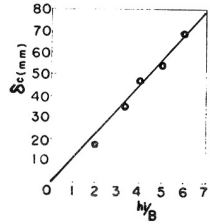


図-6  $\delta_c \sim \frac{r_i}{\beta_s}$  関係